

切土事例の信頼性解析

名古屋大学工学部 正員 鈴木 壽
名古屋大学工学部 学生員〇永田誠樹
名古屋大学工学部 正員 松尾 稔

1. はじめに これまでに、C-φ系土質材料からなる盛土斜面の信頼性設計手法を確立してきた。文献①では、クーロンの破壊基準に従った破壊確率の定式化から、これを用いた信頼性設計結果と現行設計法（道路公団の設計基準）との比較を行なった。さらに、文献②では、実際の土質調査からは非常に少量かつ少數個のデータしか得られないことから、統計的推測誤差の問題を取り上げ、サンプル個数をパラメータとした予測破壊確率の定式化を行ない、最適調査規模にも言及した。しかし、これららの問題はいずれも平坦地に盛土加建設されるという場合である。本報告では、上記の理論を自然斜面の切土問題にまで適用できるように拡張する。そして、最後に、切土によつて実際に地すべりが生じた事例を挙げて、この解析法から当初の設計案を再検討する。

2. 安全率と破壊確率の定式化 図-1は切土問題への適用を考慮した一般的な地山の断面形状を示している。Aは地山の勾配、B1は基盤の勾配、またHsは切土する前の地山の表面から基盤までの水平距離を示している。詳細な説明を省略するが、最小安全率 G_{min} は結果的には盛土の場合と同様な次式となる。

$$G_{min} = \frac{2A(\alpha_{opt}^* + \beta_{opt}^*) \sin\alpha \sin\theta^*}{f(\alpha^*, \theta^*)} \frac{C}{fH_s} + \frac{g(\alpha^*, \theta^*)}{fH_s} \tan\phi - \dots \quad (1)$$

また、破壊確率 P_f も同様に次式で求められる。

$$P_f = \int_{-0.1}^{0.1} \frac{1}{(0.1) - (-0.1)} \int_{-\infty}^{1-\bar{\epsilon}} \frac{1}{\sqrt{2\pi} G_f} \exp\left(-\frac{d}{2G_f^2}\right) d\epsilon \dots \quad (2)$$

ここに、 $\bar{\epsilon}$ は式(1)で、 $C = \bar{C}$ 、 $\tan\phi = \tan\phi'$ とした中央安全率であり、 G_f は確率変量である G_f の共分散を表わしている。

3. 損失関数 地盤の状態 α とその他の設計代替案 α とした場合の最適決定基準は、一般に次式で表される。

$$L(\theta, \alpha_{opt}) = \min_a L(\theta, a) = \min_a [C_c \{1 - P_f(\theta, a)\} + C_f P_f(\theta, a)] \dots \quad (3)$$

上式の $L(\theta, a)$ は損失関数、 C_c 、 C_f はそれぞれ初期建設費、破壊損失費、また α_{opt} は最適設計案を意味している。 $\min_a L(\theta, a)$ とは、損失関数 $L(\theta, a)$ を最小化することであり、 α と α の代替案 α を α_{opt} として選出されるのである。なお、 $P_f(\theta, a)$ は地盤状態 θ と a と α と

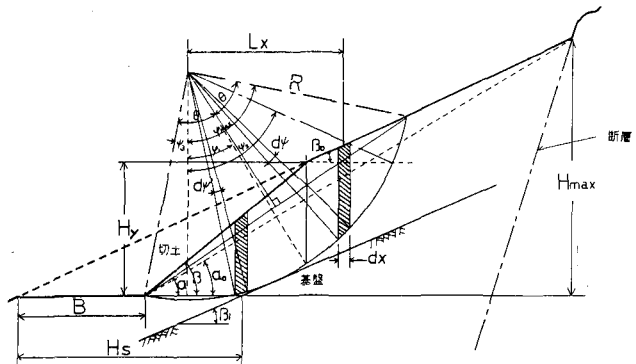


図-1 不飽和土地山の幾何学的形状と諸元

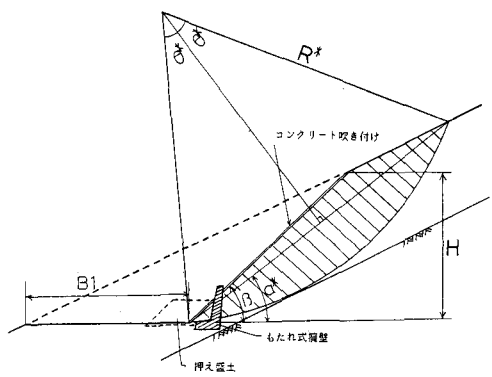


図-2 切土の根抵抗係数における諸元

いう代替案を設定した場合の破壊確率を示している。

4. 切土の事例解析 図-3は道路公団が中央自動車道を建設した諫訪地区における設計断面を示している。図に示すように、現場は切土前の地山の平均勾配 β_0 が 25° であり、その表面下数mにわたり崩積土が堆積している。その下層は比較的硬い岩盤上に風化凝灰岩が存在している。この岩盤の平均勾配は約 2° である。高速道路が建設された標高から $31.2m$ 上方の地表面から下方に断層が存在しており、本解析では、すべり円弧がこの断層より上方に広がらないとし、かつ、すべり円弧は基盤に接するものとする。同図中の表の下段に土質係数を示している。次に、この現場の施工経緯を簡単に説明する。図-3の表にも示すように、当初実施された切土は4つの小段を有する高さ $26m$ (切土勾配 41.1°)にも及ぶものであったが、施工直後すべり兆候が現われたので、図中の点線で示すような幅 $9.0m$ 、高さ $3.2m$ の押え盛土が対策工法として実施された。損失関数は式(3)を用いるが、図-2を参照して具体的な C_c 、 C_f を書けば次式となる。

$$C_f = \frac{1}{2} H^2 \sin \theta^* \sin(\beta - \alpha^*) / \sin \beta + (R^*)^2 (\theta^* - \sin \theta^* \cos \theta^*) + C_b' + A_h C_n + A_o C_o + (H / \sin \beta) C_{f(b)} \quad \dots \quad (4)$$

$$C_f = \frac{1}{2} H^2 \sin \theta^* \sin(\beta - \alpha^*) / \sin \beta + (R^*)^2 (\theta^* - \sin \theta^* \cos \theta^*) + C_b' + A_h C_n + A_o C_o + (H / \sin \beta) C_{f(b)} \quad \dots \quad (5)$$

ここで、 C_a 、 C_b 、 C_o はそれぞれ、用地費、土工費、コンクリート吹き付け費である。 C_b' 、 C_n はそれぞれ崩壊土補修費、擁壁の単位面積当たりの費用である。また、 $A_o C_o$ は押え盛土の施工費である。表-1は当初実施された切土に対して信頼性設計で再検討を行なった結果である。表のNo.1,2は α 、 A_h （自己相関関数の係数）を 1.0 とし、No.3,4は 0.0 としている。さらにNo.1,3は、ばらつきの小さい小さい場合、No.2,4はばらつきの大きい場合である。表から、最適切土勾配は 37.7° ～ 39.4° となる。つまり、当初実施された切土勾配 41.1° より

わずかにゆるい勾配が最適

案として選出された。表-2

は対策工法である押え盛土

の規模を同様の手法で再検

討した結果である。図-3か

らわかるように、高速道路幅員部

が隣接しているため、その幅は

$9.0m$ にせざるを得ないので、最適

押え盛土高さ H_{opt} を決定する問題

としている。表から $H_{opt}=20\sim28m$ となる。つまり、現在建設されている押え盛土よりやや低い高さとなる。参考文献②松尾、木本、永田 不飽和土斜面の信頼性設計 第1回土質力学研究発表会講演集 1984

③鈴木、永田、松尾 不飽和土斜面の信頼性設計における最適土質調査規模 1984

当初実施された切土	切土高さ	26 m
	切土勾配	41.1°
押え盛土(対策工法)	高さ	3.2 m
幅	橋	9.0 m
土質係数	$C = 50 \text{ kN/m}^2 \quad \phi = 25^\circ \quad \gamma = 15 \text{ kN/m}^3$	

自己相關関数 $r(t) = \exp(-1.0|t|)$

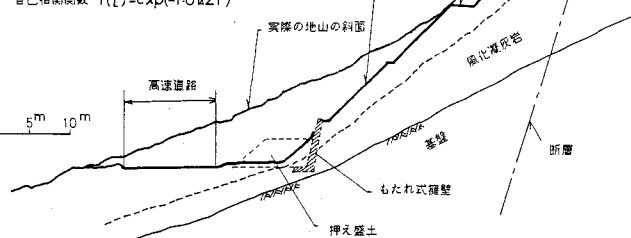


図-3 中央自動車道諫訪地区の設計条件

表-1 信頼性設計による切土の再検討

No.	V_c	$V_{tan\phi}$	A_c	$A_{tan\phi}$	$H_{opt.}(m)$	$\beta_{opt.}(\circ)$	$\bar{G}_{opt.}$	$P_{opt.}(\%)$	$C_{opt.}(千円)$
1	0.2	0.05	1.0	1.0	28.0	39.4	1.233	0.88	920.0
2	0.4	0.10	1.0	1.0	29.0	38.7	1.377	2.38	975.9
3	0.2	0.05	0.0	0.0	29.0	38.7	1.377	2.58	978.4
4	0.4	0.10	0.0	0.0	30.5	37.7	1.702	5.87	1074.2

$H_{opt.}$: 最適切土高さ

$\beta_{opt.}$: 最適切土勾配

表-2 信頼性設計による押え盛工の再検討

No.	V_c	$V_{tan\phi}$	A_c	$A_{tan\phi}$	$H'_{opt.}(m)$	$\bar{G}_{opt.}$	$P_{opt.}(\%)$	$C_{opt.}(千円)$
1	0.2	0.05	1.0	1.0	2.6	1.111	8.494	1266.5
2	0.4	0.10	1.0	1.0	2.8	1.111	19.47	1719.2
3	0.2	0.05	0.0	0.0	2.8	1.111	20.06	1743.6
4	0.4	0.10	0.0	0.0	2.0	1.110	32.65	2257.8

$H'_{opt.}$: 最適押え盛土高さ